

УДК 621.791

**О. А. Токалин**

Інститут проблем регистрації інформації НАН України  
ул. Н. Шпака, 2, 03113 Київ, Україна

## **Особенности распределения энергии при ультразвуковой сварке микропризменных оптических элементов**

*Предложена модель волнового переноса энергии в осесимметричных оптических элементах во время их ультразвуковой сварки. С учетом симметрии модели получено приближенное решение краевой задачи, определены амплитуды волн продольных и поперечных колебаний и их резонансные частоты. Рассчитаны планарные распределения упругой энергии и вклады ее составляющих. Основной вклад в центральный максимум распределения энергии в рабочей области частот дают планарные колебания. Снижение негативного влияния этого на качество сварки возможно коррекцией поглощения энергии за счет локального увеличения затухания волн из-за внутренних напряжений.*

**Ключевые слова:** ультразвуковая сварка, упругие колебания и волны, упругая энергия, резонанс.

### **Введение**

Ультразвуковая сварка пластмассовых оптических элементов как технологический процесс успешно применяется при изготовлении комбинированных очковых линз с микропризменными элементами для коррекции косоглазия и наборов оптических компенсаторов для диагностики [1, 2]. Для обеспечения герметичности и надежности соединения при сохранении оптического качества изделий сварка производится в периферийной (обычно кольцевой) области соединяемых деталей с использованием продольных колебаний полых сонотродов, область непосредственного ультразвукового воздействия которых ограничена толщиной их стенок. В отличие от прямого теплового воздействия, при сварке ультразвуком перенос энергии упругими волнами приводит к тому, что выделение тепла не ограничивается областью сварного шва, а распространяется на весь объем соединяемых элементов. Это является причиной перегрева оптических элементов, оплавления микрорельефа, растрескивания просветляющих и защитных покрытий за пределами сварного шва, что очевидно недопустимо для оптических систем.

Проблема дозирования воздействия ультразвука с термодинамической точки зрения ранее изучалась различными авторами, начиная еще с пионерских работ.

© О. А. Токалин

К настоящему времени накоплен обширный фактический материал, на основании которого даются практические рекомендации для разных полимеров [3], но это относится, главным образом, к интегральным характеристикам. Однако для применения ультразвуковой сварки в оптических технологиях из-за нелокальности поглощения энергии знание только интегральных характеристик воздействия явно недостаточно, так как нужно знать распределение энергии ультразвука по объему свариваемых элементов. Некоторые особенности сварки элементов кольцевой формы отмечены в работе [4], где показана необходимость учета поперечных колебаний в плоскости, перпендикулярной направлению распространения ультразвуковых волн. Однако авторы не учли переноса энергии упругими волнами по всей плоскости, поэтому их подход не может быть использован для решения означенной проблемы. Свариваемые оптические элементы в большинстве случаев представляют собой плоские тела вращения, например, диски. Ответственные за перераспределение энергии собственные моды колебаний дисков изучены достаточно хорошо [5]. В чистом виде эти моды колебаний обычно не проявляются, а на их смешивание определяющее влияние оказывают условия на границе [6, 7]. В связи с этим корректный учет всех факторов, влияющих на распределение энергии при сварке оптических элементов, оказывается актуальным и имеет большое практическое значение.

## Постановка задачи

При идеальных условиях продольные колебания наконечника сонотрода симметричны относительно его оси. Простую теоретическую модель процесса можно представить в виде колебаний диска толщиной  $2h$  радиуса  $R$ , сжимаемого симметричными периодическими усилиями по краю параллельно оси симметрии  $z$ . Это схематически показано на рис. 1.

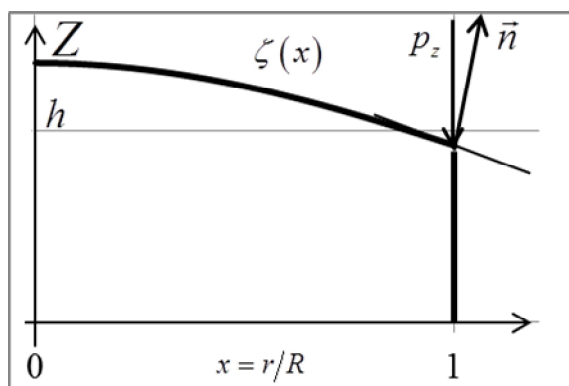


Рис. 1. Схема деформации модельного диска периодическими сжатиями полым наконечником сонотрода

В случае опоры диска по краю колебания зеркально симметричны относительно его центральной плоскости ( $z = 0$ ), на которой отсутствуют вертикальные смещения, и центр которой естественно принять за начало координат. В случае опоры диска по задней торцевой поверхности, на ней нет вертикальных смещений,

и начало координат разумно разместить на ней. При этом, если дополнить диск зеркально симметричным его отражением, получим такую же ситуацию, как и в предыдущем случае, но при удвоенной толщине. По отношению к центральной плоскости горизонтальные смещения являются симметричными и должны описываться четными функциями, тогда как вертикальные смещения являются антисимметричными и должны описываться нечетными функциями координаты  $z$ .

Если пренебречь изменением суммарной энергии колебаний за время сварки, то можно приближенно считать процесс стационарным. Для определения пространственного распределения энергии таких квазистационарных колебаний можно использовать амплитуду осциллирующего упругого потенциала [6–8]

$$U = \frac{1}{2} \sum_{\alpha, \beta} \sigma_{\alpha\beta} \varepsilon_{\alpha\beta} = \mu \left[ \frac{1-\nu}{1-2\nu} \theta^2 - 2I_2(\varepsilon) \right], \quad 2\mu = \frac{E}{1+\nu}, \quad (1)$$

который может быть выражен через инварианты тензоров напряжений  $\sigma_{\alpha\beta}$  и/или деформаций  $\varepsilon_{\alpha\beta}$ , связь между ними определяется законом Гука:

$$\sigma_{\alpha\beta} = 2\mu \left( \varepsilon_{\alpha\beta} + \frac{\nu}{1-2\nu} \theta \delta_{\alpha\beta} \right). \quad (2)$$

Здесь  $E$  — модуль Юнга;  $\nu$  — коэффициент Пуассона;  $\theta = \varepsilon_{11} + \varepsilon_{22} + \varepsilon_{33}$ ;  $I_2(\varepsilon) = \varepsilon_{11}\varepsilon_{22} + \varepsilon_{22}\varepsilon_{33} + \varepsilon_{33}\varepsilon_{11} - (\varepsilon_{12}^2 + \varepsilon_{23}^2 + \varepsilon_{31}^2)$  — инварианты тензора  $\varepsilon_{\alpha\beta}$ ;  $\delta_{\alpha\beta}$  — единичный тензор. Амплитудное значение упругого потенциала  $U$  определяется максимальным прогибом торцевых поверхностей  $\zeta(r, \vartheta)$ , который зависит от суммы статического и динамического давления наконечника сонотрода во время сварки оптических элементов. Векторное уравнение движения элементарного объема можно представить в виде

$$\frac{E}{(1+\nu)} \left( \frac{1-\nu}{1-2\nu} \vec{\nabla} \theta - \vec{\nabla} \times \vec{\Omega} \right) = \frac{\partial}{\partial t} \left( \rho \frac{\partial}{\partial t} \vec{u} \right), \quad (3)$$

где  $\vec{\Omega} = \vec{\nabla} \times \vec{u} = \{0, \Omega, 0\}$ , так как при аксиально-симметричном возбуждении колебаний вектор смещений в цилиндрической системе отсчета не имеет азимутальной компоненты и не зависит от азимутального угла:  $\vec{u} = \{u, 0, w\}$  [6–8];

$$\theta = \vec{\nabla} \cdot \vec{u} = \frac{1}{r} \frac{\partial}{\partial r} ru + \frac{\partial}{\partial z} w \quad \text{и} \quad \Omega = \frac{1}{2} \left( \frac{\partial u}{\partial z} - \frac{\partial w}{\partial r} \right) \quad (4)$$

— вспомогательные скалярная и псевдоскалярная функции, характеризующие изменения объема и формы. Пренебрегая малыми нелинейными эффектами и учитывая то, что вектор  $\vec{\Omega}$  имеет одну ненулевую азимутальную компоненту  $\Omega$ , вектор

торное уравнение (4) можно разделить на два скалярных уравнения при помощи применения к нему операторов  $\bar{\nabla} \cdot$  и  $\bar{\nabla} \times$ :

$$\nabla^2\theta = c_l^{-2}\ddot{\theta} \quad \text{и} \quad \nabla^2\Omega - r^{-2}\Omega = c_t^{-2}\ddot{\Omega}, \quad (5)$$

в которых  $\nabla^2 = \nabla_r^2 + \frac{\partial^2}{\partial z^2} = \frac{1}{r} \frac{\partial}{\partial r} r \frac{\partial}{\partial r} + \frac{\partial^2}{\partial z^2}$  — Лапласиан в цилиндрических координатах;  $c_l = \sqrt{\frac{(1-\nu)E}{(1-2\nu)(1+\nu)\rho_0}}$  и  $c_t = \sqrt{\frac{E}{(1+\nu)\rho_0}}$  — скорости продольной и поперечной упругих волн. Точками обозначены производные по времени. В терминах волновых процессов данная модель описывает возбуждение продольных и поперечных упругих волн в диске за счет периодического изменения граничных условий на боковой поверхности диска. В тонких слоях такие волны называются волнами Лэмба [5].

### Теоретический анализ модели и полученные результаты

В ультразвуковых сварочных установках обеспечиваются условия резонанса, поэтому ультразвуковое воздействие можно считать монохроматическим. Благодаря этому в (5) можно исключить дифференцирование по времени, переходя к Фурье-образам функций  $\theta$  и  $\Omega$ , и уравнения (5) преобразуются к виду

$$(\nabla^2 + k_l^2)\theta = 0 \quad \text{и} \quad (\nabla^2 - r^{-2} + k_t^2)\Omega = 0, \quad (6)$$

где  $k_{l,t} = \omega/c_{l,t}$  — соответствующие волновые числа, причем  $k_l = \sqrt{\frac{1-2\nu}{1-\nu}}k_t = \gamma k_t \leq k_t$ .

В соответствии с замечанием относительно симметрии компонентов  $u$  и  $w$ ,  $\theta$  является четной функцией  $z$ , а  $\Omega$  — нечетной. Кроме того, толщины оптических элементов много меньше длин волн ультразвуковых колебаний (при  $f \sim 20$  кГц), то есть  $k_t h \ll 1$ . Волновые числа являются естественными масштабными коэффициентами в волновых уравнениях (6), потому в пределах  $\pm h$  изменения  $\theta(z)$  и  $\Omega(z)$  незначительны, и в (6) можно ограничиться первыми членами их разложения в ряд по  $kz$ :

$$\theta(r, z) \approx \theta_0(r) \left[ 1 + a(\gamma kz)^2 \right] \quad \text{и} \quad \Omega(r, z) \approx \beta_0(r) kz \left[ 1 + b(kz)^2 \right]. \quad (7)$$

Коэффициенты разложения имеют вид логарифмических производных:

$$a = \frac{1}{2!} \left[ \frac{\partial^2 \ln \theta}{\partial (\gamma kz)^2} + \left( \frac{\partial \ln \theta}{\partial \gamma kz} \right)^2 \right]_{z=0} \quad \text{и} \quad b = \frac{1}{2!} \left[ \frac{\partial^2 \ln \beta}{\partial (kz)^2} + \left( \frac{\partial \ln \beta}{\partial kz} \right)^2 \right]_{z=0}. \quad (8)$$

Подставляя (7) в (6) и пренебрегая членами с  $(kz)^2$  по сравнению с 1, получим уравнения

$$\nabla_r^2 \theta_0 + (\gamma k \sqrt{1+2a})^2 \theta_0 = 0 \quad \text{и} \quad (\nabla_r^2 - r^{-2}) \beta_0 + (k \sqrt{1+6b})^2 \beta_0 = 0, \quad (9)$$

решения которых выражаются через функции Бесселя порядка 0 и 1 или через модифицированные функции Бесселя, в зависимости от знака квадратов волновых чисел  $\kappa_l = \gamma k \sqrt{1+2a}$  и  $\kappa_t = k \sqrt{1+6b}$ . Учитывая тождество  $I_m(\xi) = i^{-m} J_m(i\xi)$  [8], получим:

$$\theta(r, z) = C_0 J_0(\kappa_l r) \left[ 1 + a(\gamma kz)^2 \right] \quad \text{и} \quad \beta(r, z) = C_\Omega J_1(\kappa_t r) \left[ 1 + b(kz)^2 \right] kz. \quad (10)$$

Далее, для решения краевой задачи и применения граничных условий необходимо найти компоненты вектора смещения и их производные. Используем уравнения (4) и линейные комбинации вида:

$$u(r, z) = \phi_a(z) J_1(\kappa_l r) + \phi_b(z) J_1(\kappa_t r) \quad \text{и} \quad w(r, z) = \psi_a(z) J_0(\kappa_l r) + \psi_b(z) J_0(\kappa_t r). \quad (11)$$

В результате получим систему уравнений, интегрирование которой дает

$$\kappa_l \phi_a = C_0 \left[ 1 + A + A \frac{(\kappa_l z)^2}{2!} \right], \quad \kappa_l \psi_a = -C_0 A \kappa_l z, \quad A = 2a \left( \frac{\gamma k}{\kappa_l} \right)^2 + \frac{\kappa_l C_l}{C_0}, \quad (12,a)$$

$$\kappa_t \psi_b = 2kz C_\Omega (1 + B), \quad \kappa_t \phi_b = -2C_\Omega \frac{k}{\kappa_t} \left[ 1 + B + B \frac{(\kappa_t z)^2}{2!} \right], \quad B = 6b \frac{k^2}{\kappa_t^2} + \frac{\kappa_t^2 C_t}{2\kappa_t C_\Omega}, \quad (12,b)$$

где для компактности формул вместо констант интегрирования  $C_{l,t}$  введены константы  $A$  и  $B$  и сохранены только члены разложения не выше второго порядка. Соответственно компоненты вектора смещения в этом приближении имеют вид:

$$\begin{aligned} u &= CR \left[ \frac{1+A}{K_l} J_1(K_l x) - \eta \frac{1+B}{K_t} J_1(K_t x) + \frac{A K_l J_1(K_l x) - \eta B K_t J_1(K_t x)}{2} \left( \frac{z}{R} \right)^2 \right] \approx \\ &\approx CR \left[ \frac{1+A}{K_l} J_1(K_l x) - \eta \frac{1+B}{K_t} J_1(K_t x) \right] = R [u_{0l} J_1(K_l x) - u_{0t} J_1(K_t x)], \end{aligned} \quad (13,a)$$

$$w = -Cz [AJ_0(K_l x) - \eta(1+B)J_0(K_t x)] = -z [w_{0l} J_0(K_l x) - w_{0t} J_0(K_t x)], \quad (13,b)$$

где  $x = \frac{r}{R}$ ;  $K_{l,t} = \kappa_{l,t} R$ ;  $\eta = \frac{2kC_\Omega}{\kappa_l C_0}$  — коэффициент связи между поперечными и продольными модами. В формулах (13,a), (13,b) присутствует только одна кон-

станта интегрирования  $C_0 = C$ , вместо  $C_\Omega$  используется  $\eta$ . Как нетрудно заметить, отношение амплитуд колебаний вдоль оси диска к амплитудам планарных колебаний пропорционально отношению  $h/R$ , которое для микропризм много меньше единицы.

Границные условия следуют из условия равновесия упругого тела, на поверхность которого действуют внешние силы [7]

$$\left( p_\alpha - \sum_\beta \sigma_{\alpha\beta} n_\beta \right) df = 0, \quad (14)$$

где  $df$  — элемент площади поверхности;  $p_\alpha = p_z$  — давление наконечника со-нотрода;  $\vec{n}$  — нормаль к поверхности. Для торцевых поверхностей, сформированных вращением вокруг оси  $Z$  образующих  $\pm\zeta(r) = \pm h + w(r, \pm h)$ , проекции нормали на оси и элемент площади поверхности определяются производной от образующей

$$n_r = \sin \alpha = \frac{\zeta'(r)}{\sqrt{1+(\zeta')^2}} \approx \zeta', \quad n_z = \cos \alpha = \frac{1}{\sqrt{1+(\zeta')^2}} \approx 1 \quad \text{и} \quad df = \frac{r dr d\vartheta}{\cos \alpha} \approx 2\pi r dr,$$

где  $\alpha$  — угол отклонения нормали от вертикальной оси  $Z$ , а его величина

$$\operatorname{tg} \alpha = \zeta' = \frac{\partial \zeta}{\partial r} = C \frac{h}{R} \left[ A K_l J_1(K_l x) - \eta(1+B) K_t J_1(K_t x) \right] \quad (15)$$

мала вследствие малости отношения  $h/R$  и констант  $CA$  и  $\eta C(1+B)$ . Общее уравнение (14) для торцевой поверхности преобразуется к двум условиям:

$$(p_r - \sigma_{rr} \zeta' - \sigma_{rz}) df \approx -(\sigma_{rr} \zeta' + \sigma_{rz}) d\pi r^2, \quad \text{при } z = h, \quad (16,a)$$

$$(p_z - \sigma_{rz} \zeta' - \sigma_{zz}) df \approx (p_z - \sigma_{zz}) d\pi r^2, \quad z = h. \quad (16,b)$$

Вычисляя компоненты тензора напряжений и подставляя их в (16,*a*), (16,*b*), не трудно заметить, что вследствие различия волновых чисел для продольных и поперечных волн ( $\kappa_l \neq \kappa_t$ ) эти условия не удовлетворяются на всей торцевой поверхности. Поэтому граничные условия вида (16) обычно заменяются интегральными условиями, усредненными по всей площади поверхности:

$$\int_0^R d(\pi r^2) (p_z - \sigma_{zz}) = 0 \quad \text{и} \quad \int_0^R d(\pi r^2) (\sigma_{rr} \zeta' + \sigma_{rz}) = 0. \quad (17)$$

Пренебрегая толщиной стенок наконечника сонотрода и полагая зависимость давления от радиуса  $\delta$  — функциональной:  $p_z = (2\pi R)^{-1} P \delta(r - R)$ , где  $P$  —

сила давления сонотрода, и вычисляя интегралы (17), получим:

$$P = 4\pi R^2 \mu C \left[ \frac{\nu - (1-2\nu)A}{(1-2\nu)K_l} J_1(K_l) + \eta \frac{1+B}{K_t} J_1(K_t) \right], \quad (18,a)$$

$$\begin{aligned} 4\pi R^2 \mu C \frac{h}{R} \left[ \frac{A}{K_l} \int_0^{K_l} dx x J_1(x) - \eta \frac{1+2B}{2K_t} \int_0^{K_t} dx x J_1(x) \right] = \\ = 0 \rightarrow AF(K_l) - \eta \frac{1+2B}{2} F(K_t) = 0, \end{aligned} \quad (18,b)$$

где использованы табулированные функции вида [9]:

$$F(K) = \frac{1}{K} \int_0^K dx x J_0(x) - J_0(K). \quad (19)$$

Для боковой поверхности с образующей  $\chi(z) = R + u(R) = R + \phi_a(z)J_1(K_l) + \phi_b(z)J_1(K_t)$ , элемент дуги которой  $dl = \sqrt{1 + \chi'^2} dz$ , проекции нормали вычисляются аналогично:

$$n_r = \cos \alpha^* = \frac{1}{\sqrt{1 + \chi_z'^2}} \approx 1 \quad \text{и} \quad n_z = \sin \alpha^* = \frac{\chi'(z)}{\sqrt{1 + \chi_z'^2}} \approx \chi'(z),$$

где  $\alpha^*$  — угол отклонения нормали от горизонтальной плоскости;

$$\operatorname{tg} \beta = \chi'(z) = C \frac{z}{R} \left[ A K_l J_1(K_l) - \eta B K_t J_1(K_t) \right], \quad (20)$$

поэтому условие равновесия (14) преобразуется в два уравнения:

$$(1+A) \left[ J_0(K_l) - \frac{J_1(K_l)}{K_l} \right] - \eta (1+B) \left[ J_0(K_t) - \frac{J_1(K_t)}{K_t} \right] = -\frac{\nu}{1-2\nu} J_0(K_l), \quad (21,a)$$

$$\frac{P}{2\pi R} = \mu C \frac{h^2}{R} \left[ A K_l J_1(K_l) - \eta \frac{1+2B}{2} K_t J_1(K_t) \right]. \quad (21,b)$$

Из уравнений (18) и (21) получим:

$$AC = \frac{F(K_t)}{\Delta_A^*} \Theta = \frac{F(K_t)}{\Delta_A^*} \cdot \frac{P(\omega)}{2\pi h^2 \mu} = \frac{F(K_t)}{\Delta_A^*} \cdot \frac{P(\omega)(3-2\gamma^2)}{\pi h^2 E(2-\gamma^2)}, \quad (22,a)$$

$$\eta(1+B)C = \left\{ \left[ 1 + \frac{\delta^2}{N_K} \right] Z(K_l) + \frac{1-\gamma^2}{\gamma^2} J'_1(K_l) \right\} \frac{J_1(K_l) F(K_t)}{K_l \Delta_A^* \Delta_B^*} \Theta, \quad (22,b)$$

$$C = \left\{ \left[ 1 + \frac{\delta^2}{N_K} \right] J_1(K_l) J'_1(K_t) - \frac{K_l}{K_t} J_1(K_t) J'_1(K_l) \right\} \frac{F(K_t)}{K_l \Delta_A^* \Delta_B^*} \Theta, \quad (22,\theta)$$

$$\eta C = \eta(1+B)C - \frac{F(K_l)}{F(K_t)} AC, \quad (22,\varepsilon)$$

где  $\delta = \frac{h}{R\sqrt{2}}$  — малая величина;  $N_K = \frac{F(K_t)J_1(K_l)}{K_l K_t \Delta_A}$  — безразмерный коэффициент, величина которого для разумных значений параметров  $K_l$  и  $K_t$  существенно превышает  $\delta$ , поэтому отношением  $\delta^2 / N_K$  в (22,б) и (22,θ) можно пренебречь по сравнению с единицей:

$$\left. \begin{aligned} Z(K) &= \frac{1-\gamma^2}{\gamma^2} J_0(K) + J'_1(K) = \frac{1}{\gamma^2} J_0(K) - \frac{1}{K} J_1(K), \\ \Delta_A^* &= K_l J_1(K_l) F(K_t) - K_t J_1(K_t) F(K_l) = K_t \Delta_A, \\ \Delta_B^* &= \frac{1-\gamma^2}{\gamma^2} J'_1(K_t) \frac{J_1(K_l)}{K_l} + Z(K_l) \frac{J_1(K_t)}{K_t} = \frac{\Delta_B}{K_l}. \end{aligned} \right\} \quad (23)$$

К сожалению, даже приближенное решение задачи оказывается весьма громоздким, поэтому в первом приближении для микропризм с характерным соотношением размеров  $\delta\sqrt{2} = h/R \approx (1,5 \text{ мм} / 15 \text{ мм}) = 0,1$  разумно предположить, что изменения функций  $\Theta$  и  $\Omega$  по толщине относительно невелики. Коэффициенты разложения в (10), которые определяются как вторые логарифмические производные, малы, и ими можно пренебречь. В этом случае длина волн поперечных колебаний с частотой 20 кГц для оргстекла (ПММА) составляет  $\lambda_t \approx 6,5$  см, откуда  $\gamma \approx 0,58 \dots 0,6$ ,  $K = (2\pi R / \lambda_t) \approx 1,45$  и  $\gamma K = (2\pi R / \lambda_t) \approx 0,85 \dots 0,87$ . Эти значения меньше первых нулей функций  $J_0$  и  $J_1$ , следовательно, в плоскости микропризм укладывается менее четверти длины волны, и поэтому резонанс для таких волн невозможен. Частотные зависимости амплитуд продольных и поперечных упругих волн, рассчитанные для диска из ПММА показаны на рис. 2. Резонансная частота колебаний, соответствующая полюсу  $K = 2,59$ , для диска диаметром 30 мм равна  $f_r = \omega/2\pi = 35,7$  кГц, что в 1,5 раза больше рабочей частоты.

Результаты расчетов для других материалов показаны на рис. 3 в виде зависимости резонансной частоты от коэффициента Пуассона. Как видно из представленных данных, все полюса расположены выше значения  $K = 2$  даже в случае малых значений коэффициента Пуассона  $\nu$  и увеличиваются с его ростом так, что простое условие, ограничивающее резонансные частоты  $f_r \geq c_t/\pi R$ , удовлетворяется почти для всех известных материалов и может служить удобным критерием резонанса.

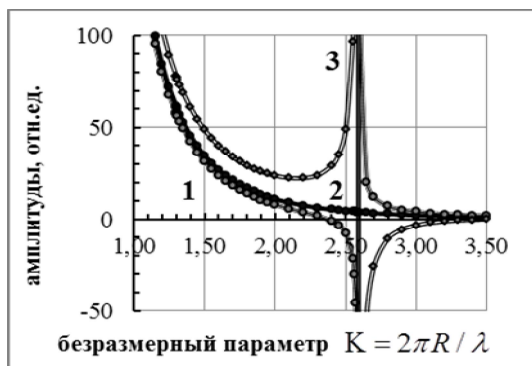


Рис. 2. Частотные зависимости амплитуд колебаний диска: 1 — продольные колебания в плоскости диска,  $u_{l0}$ ; 2 — продольные колебания вдоль оси,  $w_{l0}$ ; 3 — поперечные колебания

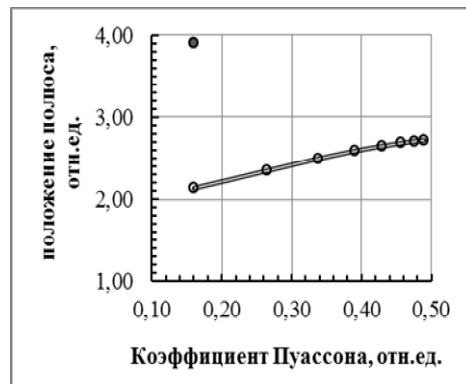


Рис. 3. Зависимость положения полюса частотной характеристики от коэффициента Пуассона. Темная точка — второй полюс характеристики

Учитывая малость недиагональных компонентов тензоров деформаций и напряжений по сравнению с диагональными компонентами и то, что в энергию упругих колебаний они входят в квадратичном виде, вкладом недиагональных компонентов можно пренебречь. Тогда потенциальную энергию формально можно представить в виде суммы

$$U = \frac{1}{2} \sum_{ii} \sigma_{ii} \varepsilon_{ii} = U_r + U_\theta + U_z, \quad (24)$$

в которой слагаемые

$$U_{r,\theta,z} = \frac{1}{2} \varepsilon_{ii} \sigma_{ii} = \mu \left[ \varepsilon_{ii}^2 + \frac{1-\gamma^2}{\gamma^2} \theta \varepsilon_{ii} \right] = \frac{\sigma_{ii}}{4\mu} \left( \sigma_{ii} - 2\mu \frac{1-\gamma^2}{\gamma^2} \theta \right), \quad i = r, \theta, z \quad (25)$$

по отдельности не имеют физического смысла энергии, но удобны для расчетов:

$$\varepsilon_{rr} = AC \left[ \left( 1 + \frac{\Delta_C}{\Delta_B} \right) J'_1(\gamma Kx) - \xi J_1(\gamma K) J'_1(Kx) \right], \quad (26,a)$$

$$\varepsilon_{\theta\theta} = AC \left[ \left( 1 + \frac{\Delta_C}{\Delta_B} \right) \frac{J_1(\gamma Kx)}{\gamma Kx} - \xi J_1(\gamma K) \frac{J_1(Kx)}{Kx} \right], \quad (26,b)$$

$$\varepsilon_{zz} = AC \left[ \xi J_1(\gamma K) J_0(Kx) - J_0(\gamma Kx) \right], \quad (26,c)$$

где

$$\xi = \frac{1}{\Delta_B} \left[ \frac{1-\gamma^2}{\gamma^2} J'_1(\gamma K) + Z(\gamma K) \right], \quad \Delta_C = J_1(\gamma K) J'_1(K) - \gamma J_1(K) J'_1(\gamma K). \quad (27)$$

Можно заметить, что сумма диагональных деформаций (26,*a*)–(26,*e*) равна относительному изменению объема  $\theta(x)$ , что и следовало ожидать.

Результаты расчетов распределения энергий колебаний в плоскости диска в виде радиальных зависимостей, выполненных для тонкого диска из ПММА диаметром 30 мм, возбуждаемых сонотродом с тонким кольцевым наконечником во время их сварки ультразвуком с частотой 20 кГц, представлены на рис. 4. Аналогичные расчеты распределения упругой энергии выполнены для ультразвукового воздействия с другими частотами.

Из полученных данных следует, что основная доля энергии колебаний приходится на центр диска, но характер распределения энергии существенно различается для частот, меньших или больших резонансной частоты. В первом случае наибольший вклад в центральный максимум дают планарные колебания, переносимые волнами Лэмба, тогда как энергия, расходуемая непосредственно на сварку, которой соответствует второй максимум на границе диска (при  $x = 1$ ), определяется колебаниями вдоль оси. Во втором случае периферийного максимума вообще нет, а вклад планарных и осевых колебаний в центральный максимум одинаков. Поэтому использование этой области частот для ультразвуковой сварки не рационально. Частотная зависимость относительных величин периферийного максимума и минимума распределения упругой энергии для области субрезонансных частот, показанная на рис. 5, иллюстрирует эти изменения профилей распределения энергии.

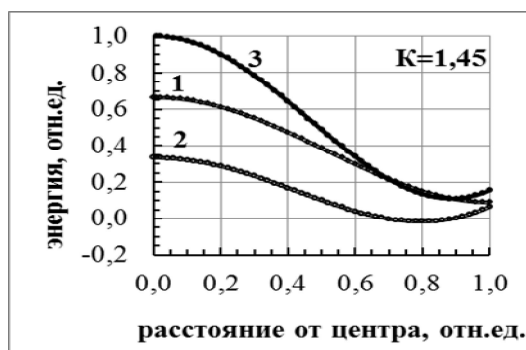


Рис. 4. Профили распределения упругой энергии колебаний: 1 — планарные колебания; 2 — колебания вдоль оси; 3 — суммарная энергия колебаний модельного диска

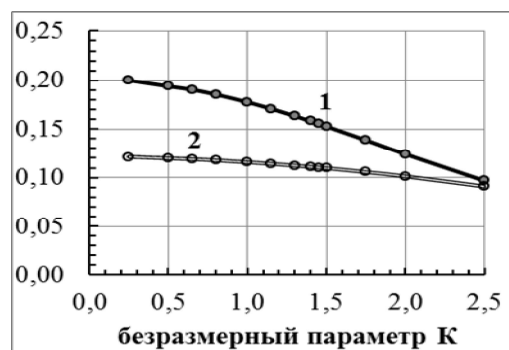


Рис. 5. Частотные зависимости относительных значений периферийного максимума (1) и минимума (2) упругой энергии, нормированные на величину центрального пика

Полученные результаты относятся к упругой энергии колебаний, тогда как в основе процессов сварки лежит преобразование в теплоту локально поглощенной энергии. Поглощение энергии волн упругих колебаний определяется величиной их затухания  $\alpha(\vec{r})$ , а величину поглощенной энергии можно представить в виде произведения:

$$E(\vec{r}) = \alpha(\vec{r})U(\vec{r}).$$

Затухание упругих волн, как показано, например в [10], зависит от наличия внутренних напряжений. Соответственно, распределение поглощенной энергии ультразвука может быть скорректировано путем образования локальных областей напряжений, в которых затухание упругих волн повышенено. Это достигается использованием выступающих элементов, обладающих острыми кромками в месте сварки, которые служат концентраторами напряжений в области сварного шва.

## **Выводы**

На основании предложенной модели воздействия ультразвука при сварке полым тонкостенным сонотродом тонких дискообразных оптических элементов и ее приближенного анализа оказалось возможным показать определяющую роль упругих волн Лэмба в формировании профилей распределения энергии ультразвука в объеме свариваемых элементов. Установлен простой критерий резонанса и оценены вклады продольных и поперечных мод колебаний в характеристики планарного распределения энергии, а также указана возможность их коррекции.

1. Технология изготовления и методика применения в офтальмологии микропризменных элементов Френеля / В.В. Петров, Н.М. Сергиенко, С.А. Рыков [и др.] // Реєстрація, зберігання і оброб. даних. — 2008. — Т. 10, № 3. — С. 5–17.
2. Бутенко Л.В. Підсумки першого року відпрацювання технології виготовлення комбінованих окулярів для лікування косоокості / Л.В. Бутенко // Щорічна підсумкова наукова конференція 24–25 лютого 2011 р. — К.: ІПРІ НАН України. — 2011. — С. 19.
3. Ультразвуковая сварка термопластичных полимеров [Электронный ресурс]. — Режим доступа: <http://www.ultrasonic.com.ua/docum/us%20plastic%2006.pdf>
4. Хмелев В.Н. Моделирование процесса ультразвуковой сварки полимерных материалов кольцевой формы / В.Н. Хмелев, А.Н. Сливин, А.Д. Абрамов // Всероссийская конференция ИАМП-2010 (Измерения, автоматизация и моделирование в промышленности и научных исследованиях). — Бийск: Алт. ГТУ. — 2010. — С. 206–210. — Режим доступа: <http://iamp.e-dig.it.ru>
5. Ультразвук. Маленькая энциклопедия; под ред. И.П. Голяминой. — М.: Сов. энциклопедия, 1979. — 400 с.
6. Ляв А. Математическая теория упругости / А. Ляв. — М.-Л.: ОНТИ, 1935. — 674 с.
7. Ландау Л.Д. Теория упругости / Л.Д. Ландау, У.М. Лифшиц. — [4-е изд.], — М.: Наука, 1987. — 250 с.
8. Лурье А.И. Нелинейная теория упругости / А.И. Лурье. — М.: Наука, 1970. — 940 с.
9. Справочник по специальным функциям с формулами, графиками и математическими таблицами; под ред. М. Абрамовича и И. Стиган: пер. с англ. / под. ред. В.А. Диткина и Л.Н. Кармановой. — М.: Наука, 1979. — 832 с.
10. Токалин О.А. Влияние статических внутренних напряжений на прохождение упругих волн в твердом теле / О.А. Токалин // Реєстрація, зберігання і оброб. даних: зб. наук. праць Щорічної підсумкової наук. конф. 27–28 лютого 2013 р. / НАН України. Ін-т проблем реєстрації інформації; відпов. ред. В.В. Петров. — К.: ІПРІ НАН України — 2013. — С. 28–35.

Поступила в редакцию 14.04.2015